

京都大学工学部 正員 江本 哲郎
 京都大学工学部 正員 中川 博次
 京都大学大学院 学生員 村上 正吾

1. まえがき 著者らのこれまでの研究の結果、とくに非平衡状況での掃流過程に演ずるstep lengthの役割は重要であるが、これが“非平衡掃流砂過程を明らかにする鍵となる”ことであると言える。しかし step lengthの意義、その特性は必ずしも充分に明らかにされておらず、ここで著者らの種々の実験結果を挙げて議論を整理しておくことにする。step lengthはEinsteinがstochastic modelの構成に当たって導入した確率変数で、掃流砂のdiscrete運動をzigzag modelに表現したとき粒子の移動時には時間と空間を要す距離のみ増加することに着目して導入されたものである。したがって、このような現象から、粒子の運動開始から確実に停止までのstep lengthと意義すべきである。

2. 掫流砂の個々の運動特性量と全体としての特性量 ところで、河床波の発生、混合砂床のarmoringなど砂粒スケルの流砂の非平衡性が問題となる場合、掃流砂モデルとして平衡状態の流砂量式とは不充分(不合理)であり、もう少し内部構造に立ち入る必要がある。流砂の運動あるいは流砂量を分割して考えると、移動砂粒数密度 n_s と移動砂粒速度 v_s 、pick-up rate ρ_s とstep length(平均値 $\lambda_s = \lambda d$)の二つの方法があり、いずれもその積で流砂量が評価される。従来の流砂量式もその説明に際してこれらの量が概念的には考察検討されているが、流砂量としての妥当を評価のみを念頭に置いていたためこれら構成要素の評価までは必ずしも正当でないものが多い。(非平衡状況の解析を意図して)これらの量の合理的な正当評価を目的としてその実測を試みた。この場合、平衡状態を対象としては本質的特徴を見逃す恐れがあり、といって一般に非平衡状況における条件の場所的変化をも伴い、流砂固有の性質は埋もれてしまうことになりがちである。従ってここでは固定床に接続する同粗度の移動床 $\sim 16\text{mm}$ フルム解析による運動特性量を実測した¹⁾(図-1~4参照、 $\rho_s = \rho_s / d(1/\beta - 1)f$, $n_s =$

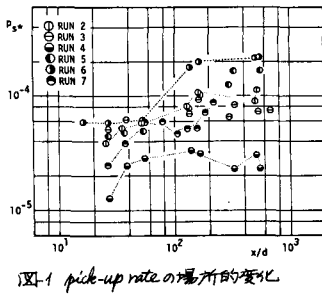


図-1 pick-up rateの場所的変化

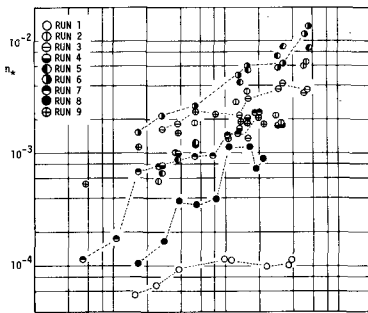


図-2 移動砂粒数密度の場所的変化

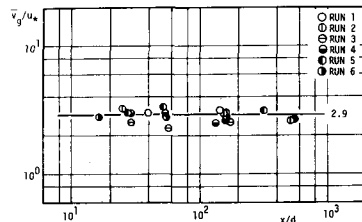
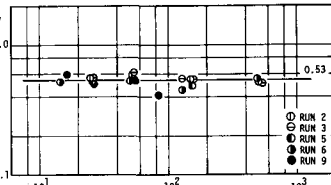


図-3 移動粒引速度の平均の場所的変化



$\rho_s A_2 d^2$)。この結果 pick-up rate, ρ_s は場所的に始んど変化しておらず、個々の粒子の運動特性はこの程度の非平衡状況(流砂量は明らかに場所的に増加している)でも保存されることがわかる。これに対し、 n_s は流砂量と同様、個々の粒子運動特性そのものではなく全体としての特性であり、これは場所的に変化している。この結果、pick-up rate, ρ_s は移動粒引速度の変動係数の場所的变化 step length のように個々の粒子の運動特性量だけが構成される流砂モデルの方が、その構造を把握・記述するのに適したものと判断できる。

3. 掫流過程の基礎式とstep lengthの役割 著者らは pick-up rate ρ_s と step length λ_s を流砂過程(後述するように必ずしも掃流過程に限定する必要はない)の基本的構成要素とし、次のように流砂過程を記述する基礎式^{2), 3)}を示す。

$$\rho_s(x) = \int_0^{x-x_0} \rho_s(x-\xi) f_{\lambda}(x) d\xi \quad (1) \quad g_B(x) = (A_2 d/A_1) \int_{x_0}^x \rho_s(x') \int_{x-x'}^{\infty} f_{\lambda}(x) d\xi dx' \quad (2) \quad \frac{d\rho_s(x)}{dt} = \{ \rho_s(x) - \rho_s(x) \} A_1 d \quad (3)$$

但し $\rho_s(x)$: deposit rate, g_B : 流砂量, $f_{\lambda}(x)$: step lengthの密度関数, x_0 : 流砂の原点である。なお上式²⁾では moving period を無視しており、このことが許容される範囲²⁾はどのような条件でも(河床波の発達した場合、局所洗掘の場合を除く)、 ρ_s と

$f_X(x)$ さえ正に評価すれば上式は成立する。また浮遊砂のように moving period の大きい場合、この効果をとり込まなければならぬが、これについては運動粒子速度の分布関数を導入して上式を改良することもできる。さて、上式より流砂の非平衡度は $p_d(x)$ の変化と $f_X(x)$ の変化の間の遅れとして現れ、これは step length の分布形は強く依存していることがわかる。 $p_d(x)$ は局所的水理条件(主として底面せん断応力)では一意的に決まるから、step length が局所的状況を下流側に適当な割合(割合が $f_X(x)$)で配分、伝播する役割である。つまり非平衡流砂状況で最も重要な役割を擔じていることわかる。なお、図 5, 6 の実験結果 ($\beta_{Bx} = 9.8 / (10\pi - 1) gd^3$, $P_{Bx} = p_d/d / (\alpha \tau - 1)^2$) は、同一粗度の固定床-移動床接続部に対して得られたもので式(1), (2)の成立及び平坦河床で step length が指數分布することの検証とまつよい。

4. 平坦河床での step length の大きさ 合理的流砂量

モデルの確立には step length の評価が必須であるが、その平均値さえ力学的に推定するのが相当困難とまつよい。これは step length が單一の saltation の飛距離のように孤立粒子の單一運動方程式の解で与えられるようなものではなく、運動中砂れきの偶然的な停止で決走されるよう本確率的なものだからである。ところで従来のトレー実験による step length の測定結果(個々の step の直接測定及び平均分散距離と他の実測値からの间接的測定)は図 7 に示す通りでほぼ半径の 50~200 倍である。ところで平衡状態の流砂量は構成要素の各々の評価にむづかなくとも例えば Bagnold のようにエネルギー的考察をもたらす推定を得る。従来の流砂量式(A):スイス公式、(B), (C): Bagnold 式($\tau_* = 0.04, 0.045$)、(D): 芦道式⁴⁾を認めて平均 step length を計算した結果でも平均 step length はこの程度の値であることが予想され、かつて中川ら⁵⁾が指摘しモデル化したように τ_* 付近で極大、 $\tau_* \approx 0.1$ で極小といった傾向も裏づける。(*** $\lambda/d = (A/A_0) \beta_{Bx}/\Gamma_{Bx}$ 、ただし中川⁵⁾より、 $\beta_{Bx} = 0.03 \tau_*^2 \{1 - (0.035/\tau_*)^3\}$ 、図 8 参照)

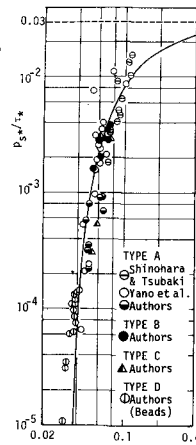


図 8 pick-up rates
推定式と実験値

5. 掃流砂れきの運動機構と step length

前述したように step length は掃流砂れきの偶然的な停止で決走され、これは床面の突起砂粒との衝突による粒子速度の急減に起因する。このよる衝突の繰り返しが卓越する不規則過程としての掃流機構の内部構造は前報で詳しく調べられた。その結果として明らかにされた湍流過程、床面不規則性及び衝突過程のモデルを用いると、移動を開始した後の掃流砂れきの運動を数値的にシミュレーションすることができる、その結果の一例が図 9 に示される。このようなシミュレーションから得られる step length の分布(解析的に表示することも可能)を図 10 に示した。この結果とこの平均 step length (せいせい粒径の 50 倍程度、変動係数は約 0.8 で)、さらには衝突後速度零の砂の運動軌跡が認められる。これについて今後検討を加える。

⁴⁾参考文献: 1) 中川・辻本・宮本: 京大防災研年報、1978, 2) 中川・辻本: 土木学会論文報告集 86, 291, 1979.

⁵⁾ 辻本・中川: 34 回年講、1979, 4) 芦道: 土木学会論文報告集、1972, 5) 中川・辻本: 土木学会論文報告集、1975, 6) 細川・中川・辻本: 34 回年講、1979,

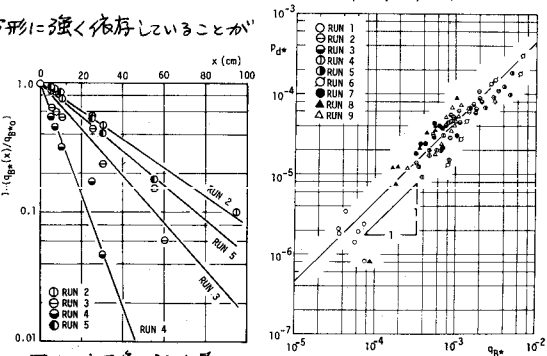


図 5 非平衡流砂量

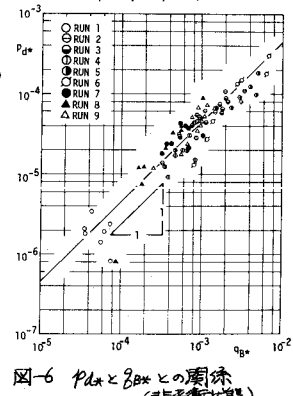


図 6 P_{dx} と g_{Bx} との関係
($\lambda =$ 平衡流砂量)

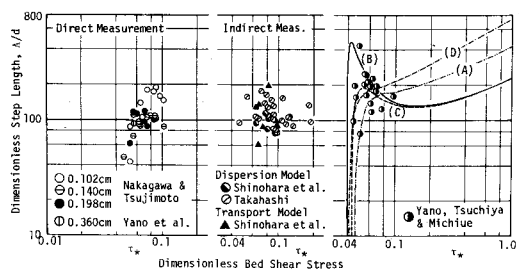


図 7 平均 step length の大きさ

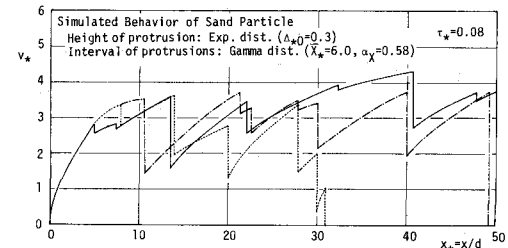


図 9 掫流砂運動のシミュレーション

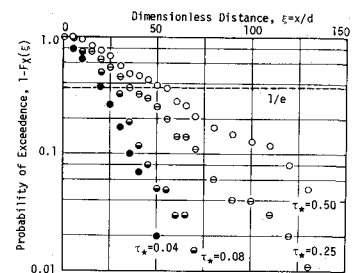


図 10 シミュレーション結果から得られた step length の超過確率